

# II-127 流動層型反応器における脱窒素速度におよぼす温度とpHの影響について

長岡技術科学大学 正 原田 秀樹  
 " " 挑井 清至  
 青木建設(株) " 竹内 和雄

1. はじめに： 流動層型反応器は、従来の浮遊増殖型反応器の5～10倍の高濃度の生物を維持でき、固液分離装置の縮小化や返送污泥を必要とせず、また付着増殖型充填床のような圧力損失や生物間隔等の問題も少ないので、現在経済性のすぐれている生物学的廃水処理装置として期待されている。流動層型反応器内での基質除去機構は、担体に付着増殖した生物膜内での基質拡散速度と生物化学反応速度の相対的重要性に支配され、環境因子に対する浮遊増殖型反応器とは異なる挙動を示すものと考えられる。

本研究では、流動層型脱窒素プロセスにおける脱括反応速度におよぼす温度とpHの影響を検討した。また、生物膜内の基質拡散係数と基質除去速度係数の温度とpHの依存性についても、それらを検討したので報告する。

2. 実験方法および条件： 2-(1) 流動層内の付着生物膜による脱窒素速度の温度とpHの依存性実験は、塔高2.0m、内径3.0mmのカラムを用いた。温度依存性実験では、水温を11.5～23.7°Cに設定し、pHはリン酸緩衝液で6.5～6.7に制御した。基質の線流速は10.7～12.0%/hr、滞留時間は82～99minで運転し、流入基質濃度は60～100mgN/lである。除去率は48～94%であった。pH依存性実験では、水温は11.0～13.5°Cで、pH 5.0～7.0では酢酸-酢酸ソーダ系、6.14～7.6ではリン酸/カリ-リン酸2ナトリウム系、8.2～9.3ではTris-HCl系の緩衝液で制御した。基質の線流速は11.6～11.9%/hr、滞留時間は79～83minで、流入NO<sub>3</sub>-N濃度は約60mg/lである。除去率は8.7～62%であった。

2-(2) 生物膜の固有の基質除去活性(拡散抵抗の影響がない状態)を評価する為、担体から強制的に剥離してホモジナイズした生物を用いて、回分実験を行った。1lフラスコにMLSSで約2000mg/lに調製し、N<sub>2</sub>ガスで脱酸素状態に保ちながら、基質の経時変化を測定した。水温依存性実験では、初期基質濃度はNO<sub>3</sub>-N 30mg/l、あるいはNO<sub>2</sub>-N 20mg/lであり、pHは2-(1)と同様の方法で制御した。pH依存性実験では、初期基質濃度NO<sub>3</sub>-N 30mg/lで水温は22.5°C～一定制御した。

2-(3) 生物膜内の基質拡散係数は、直径3.76～3.96cm(厚0.0205cm)の金剛サポーター上にNO<sub>3</sub>-N 60mg/lで自然付着増殖させた生物膜の両側に基質の濃度勾配を与えて、その経時変化から求めた。生物膜はHgCl<sub>2</sub> 500mg/l液中に30分間浸すことによって、不活性化させた。また、生物膜厚は、マイクロメーター(最小目盛 0.001mm)にてスターを接続して測定した。

3. 実験結果および考察： 図-1は、流動層カラム内の生物膜によるNO<sub>3</sub>-N除去速度の温度依存性を示す。生物膜のNO<sub>3</sub>-N除去速度が

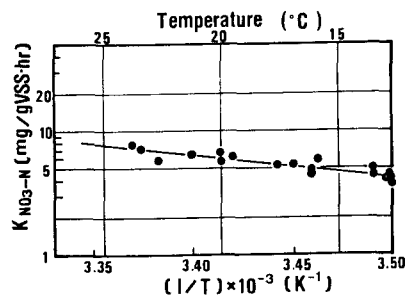


図-1 生物膜のNO<sub>3</sub>-N除去速度の温度依存性

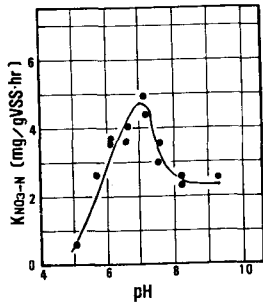


図-2 生物膜のNO<sub>3</sub>-N除去速度のpH依存性

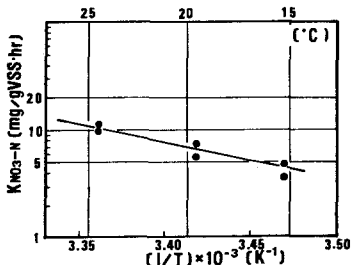


図-3 剥離物のNO<sub>3</sub>-N除去速度の温度依存性

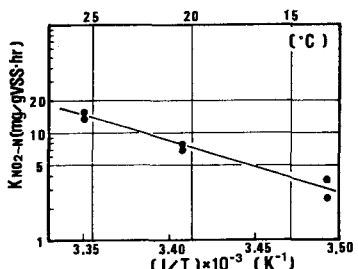


図-4 剥離生物のNO<sub>2</sub>-N除去速度の温度依存性

Arrhenius の温度依存性に従うとして、活性エネルギーを求める  $8107 \text{ cal/mole}$  と評価される。流動層カラムによる脱窒速度の pH 依存性を図-2 に示す。最適 pH は 7.0 附近に存在し、pH 5 付近では著しく低下し、pH 8 以上ではほぼ平衡状態になる。図-3、4 は、剥離生物の  $\text{NO}_3\text{-N}$ ,  $\text{NO}_2\text{-N}$  除去活性の Arrhenius プロットである。それより、活性エネルギーとして  $17248 \text{ cal/mole}$ ,  $21313 \text{ cal/mole}$  という値が得られる。従って、生物膜の  $\text{NO}_3\text{-N}$  除去速度の温度依存性は、剥離生物自体のそれと比較するに従う。図-1 より求めた活性エネルギーで、 $22.5^\circ\text{C}$  の条件に補正すると図-5 の○印の点となる。pH 6 以下および 8 以上では、两者はほとんど差を生じないが、最適 pH 成分は、生物膜の脱窒速度が低下している。

生物膜内の基質拡散係数は、以下のようく測定した。(図-8 参照)

生物膜内の基質フラックス  $J [\text{g}/\text{cm}^2 \text{ sec}]$  は、

$$J = -D \left( \frac{dS}{dz} \right) = K_L (S_i(t) - S_o(t))$$

生物膜の両側の基質濃度変化は、

$$dS_i(t)/dt = (-A K_L / V_i) (S_i(t) - S_o(t))$$

$$dS_o(t)/dt = (A K_L / V_o) (S_i(t) - S_o(t))$$

従って、低濃度側の基質濃度は

$$S_o(t) = S_o(0) + \frac{B_1}{B_2} + \frac{B_1}{B_2} \exp(B_2 t)$$

ここで、 $B_1 = (A K_L / V_o) (S_i(0) - S_o(0))$  ,

$B_2 = (-A K_L / V_o) (1 + V_o / V_i)$  であり、 $F = [S_o(t) - S_o(0) + B_1/B_2] B_2 / B_1$

と置いて、F 値の経時変化を示したもののが図-6 である。図-6 の直線の傾きより、 $B_1$  が決定され、 $K_L$  が求まる。従って、 $(1/K_L) = (1/k_{L1}) + (1/k_{L2})$  より、生物膜の拡散係数  $D_1$  が求められる。図-7 は、 $\text{NO}_3\text{-N}$  の生物膜内拡散係数の温度依存性を示したもので、活性エネルギーは  $3185 \text{ cal/mole}$  と、剥離生物の  $\text{NO}_3\text{-N}$  除去活性の温度依存性と比較するとかなり小さな値となる。同様に、 $\text{NO}_2\text{-N}$ ,  $\text{CH}_3\text{OH}$  の拡散係数に対する活性エネルギーは、それより、 $5520$ ,  $12999 \text{ cal/mole}$  であった。

表-1 は、 $\text{NO}_3\text{-N}$ ,  $\text{NO}_2\text{-N}$ ,  $\text{CH}_3\text{OH}$  の拡散係数における pH の影響を示したものである。拡散係数はバラツキがあるが、明確な有意差は観察されない。pH に依存しないといえる。

従って、生物膜の  $\text{NO}_3\text{-N}$  除去速度の温度依存性が低いのは、膜内の基質拡散抵抗の影響と考えられる。また、同様に、生物膜の  $\text{NO}_3\text{-N}$  除去速度が pH 6.0 ~ 7.6 の中性域で剥離生物のそれよりも低いのも、拡散抵抗が支配的である為と考へられる。

4. おわりに：  $\text{NO}_3\text{-N}$  に対する生物膜の除去速度、剥離生物の除去速度および膜内拡散係数の温度依存性は、それより、活性エネルギーで  $8107$ ,  $17248$ ,  $3185 \text{ cal/mole}$  と評価された。また、生物膜の  $\text{NO}_3\text{-N}$  除去速度は、pH 6 以下および 8 以上では生物自体の除去活性の低下によって反応律速になってしまおり、pH 6 ~ 8 の中性域では拡散抵抗が律連にならざると推定される。

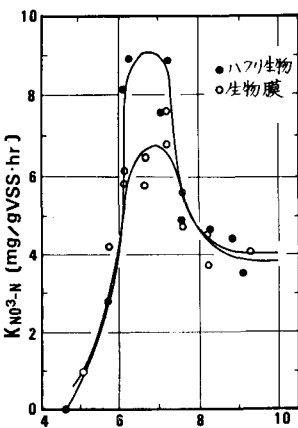


図-5 剥離生物の  $\text{NO}_3\text{-N}$  除去速度の pH 依存性

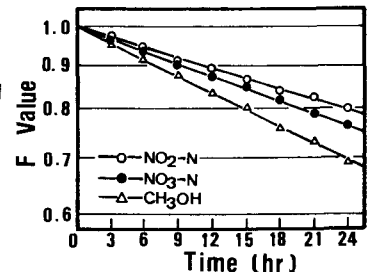


図-6 生物膜内物質移動係数の決定

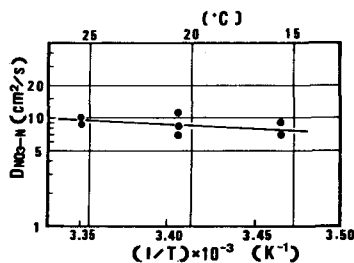


図-7 生物膜内  $\text{NO}_3\text{-N}$  拡散係数の温度依存性

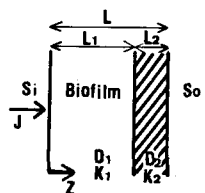


図-8 生物膜内物質移動モデル

表-1 生物膜内拡散係数の pH 依存性

pH	Biofilm (cm) Thickness	Diffusion Coefficient $\text{NO}_3\text{-N}$ ( $\text{cm}^2/\text{sec}$ )	Diffusion Coefficient $\text{NO}_2\text{-N}$ ( $\text{cm}^2/\text{sec}$ )	Diffusion Coefficient $\text{CH}_3\text{OH}$ ( $\text{cm}^2/\text{sec}$ )
5.8	0.05438	9.06	9.20	10.23
6.4	0.05438	11.33	11.80	11.97
7.0	0.05438	8.31	9.26	8.50
7.0	0.08425	10.92	11.59	13.16
7.0	0.04136	7.34	9.95	9.12
7.4	0.06714	13.23	13.88	13.87
7.8	0.06714	7.54	7.70	8.05